

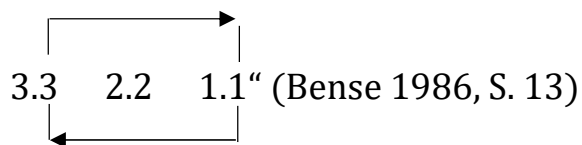
Prof. Dr. Alfred Toth

## Funktionsverläufe von Eigen- und Kategorienrealität

1. In der von Bense (1975, S. 37) eingeführten semiotischen Matrix schneiden sich die selbstmeidenden Funktionsgraphen (vgl. Toth 2025a) von Eigenrealität (3.1, 2.2, 1.3) und Kategorienrealität (1.1, 2.2, 3.3):

1.1	1.2	1.3
2.1	2.2	2.3
3.1	3.2	3.3

Da es in diesem Fall mit einer einfachen, nichtleeren Schnittmenge nicht getan ist, schlug Bense eine transformationelle Ableitung von ER aus KR bzw. umgekehrt vor: „Die Ableitung der semiotischen Zeichenklasse aus der genuinen Kategorienklasse geschieht durch eine einfache Vertauschung des erstheitlichen Stellenwertes (.1) mit dem drittheitlichen Stellenwert (.3) im Sinne des Schemas



2. Man kann die Zusammenhänge, d.h. die Identitäten und Gegenidentitäten, die Morphismen und Heteromorphismen, die in den beiden Formen von semiotischer Diagonalität zusammenspielen mit Hilfe der von Kaehr (2011) eingeführten Bi-Zeichen bedeutend präziser und ausführlicher darstellen (vgl. Toth 2025c). Im folgenden zeigen wir alle 2 mal 3 Möglichkeiten der Komposition der Diamonds von ER und KR, und zwar gesondert nach den konkatenativen (1.a) und überlappenden (1.b) Kompositionstypen.

1.a

$$\begin{array}{ccc}
 1.1^* \leftarrow 1.1 & & 1.3^* \leftarrow 1.3 \\
 | & | & | & | \\
 2.2 \rightarrow \boxed{1.1 \circ 1.1} \rightarrow 3.3 \diamond 2.2 & \rightarrow & \boxed{1.3 \circ 1.3} \rightarrow 3.1
 \end{array}$$

$$\begin{array}{ccc}
 2.2^* \leftarrow 2.2 & & 2.2^* \leftarrow 2.2 \\
 | & | & | & | \\
 1.1 \rightarrow \boxed{2.2 \circ 2.2} \rightarrow 3.3 \diamond 3.1 & \rightarrow & \boxed{2.2 \circ 2.2} \rightarrow 1.3
 \end{array}$$

$$\begin{array}{ccc}
 3.3^* \leftarrow 3.3 & & 3.1^* \leftarrow 3.1 \\
 | & | & | & | \\
 1.1 \rightarrow \boxed{3.3 \circ 3.3} \rightarrow 2.2 \diamond 1.3 & \rightarrow & \boxed{3.1 \circ 3.1} \rightarrow 2.2
 \end{array}$$

1.b

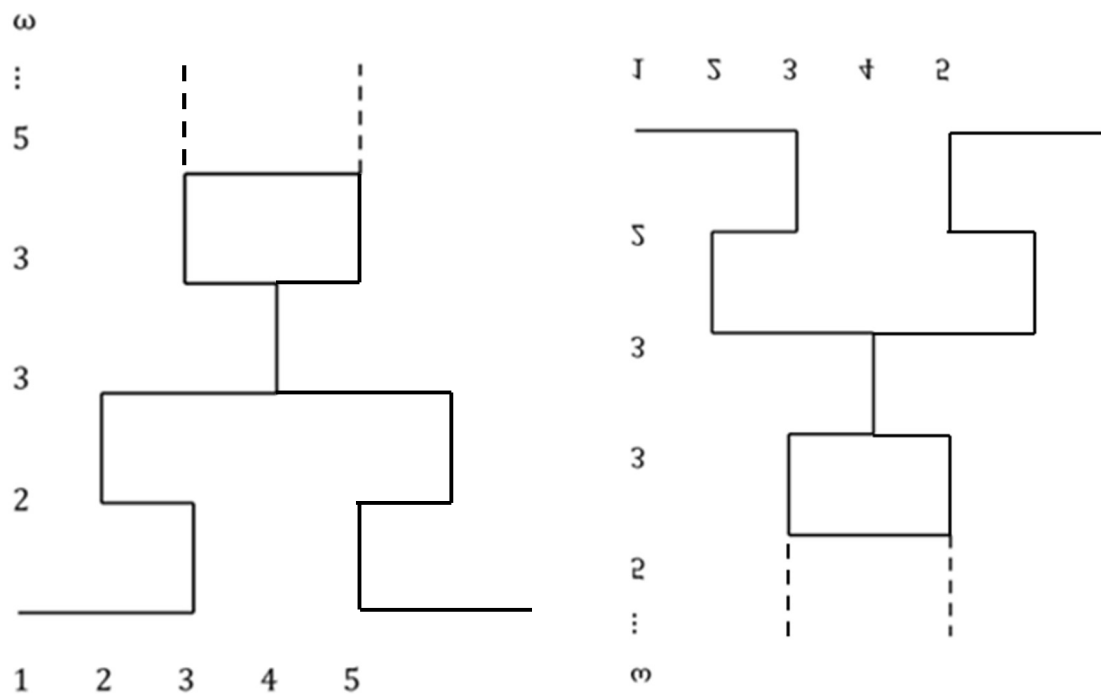
$$\begin{array}{ccc}
 2.2^* \leftarrow 1.1 & & 2.2^* \leftarrow 1.3 \\
 | & | & | & | \\
 1.1 \rightarrow \boxed{2.2 \circ 1.1} \rightarrow 3.3 \diamond 1.3 & \rightarrow & \boxed{2.2 \circ 1.3} \rightarrow 3.1
 \end{array}$$

$$\begin{array}{ccc}
 2.2^* \leftarrow 3.3 & & 2.2^* \leftarrow 3.1 \\
 | & | & | & | \\
 3.3 \rightarrow \boxed{2.2 \circ 3.3} \rightarrow 1.1 \diamond 3.1 & \rightarrow & \boxed{2.2 \circ 3.1} \rightarrow 1.3
 \end{array}$$

$$\begin{array}{ccc}
 3.3^* \leftarrow 1.1 & & 3.1^* \leftarrow 1.3 \\
 | & | & | & | \\
 1.1 \rightarrow \boxed{3.3 \circ 1.1} \rightarrow 2.2 \diamond 1.3 & \rightarrow & \boxed{3.1 \circ 1.3} \rightarrow 2.2
 \end{array}$$

Da man Bi-Zeichen als Diamonds und diese als selbstmeidende (self-avoiding) Kurven darstellen kann (vgl. Toth 2025b), kann man Konvergenz und Intersektion von ER und KR mit den folgenden Funktionsgraphen darstellen.

Der Graph zur Linken zeigt die positiv-ansteigenden und der Graph zur Rechten die negativ-absteigenden Funktionsverläufe der mittels komplexer P-Zahlen (vgl. Toth 2025d) dargestellten semiotischen Relationen von ER und KR.



## Literatur

- Bense, Max, Semiotische Prozesse und Systeme. Baden-Baden 1975
- Bense, Max, Die Eigenrealität des Zeichens. In: Semiosis 42, 1986, S. 5-13
- Kaehr, Rudolf, Xanadu's Textemes. Glasgow, U.K. 2011
- Toth, Alfred, Das fraktale Zeichenmodell. In: Electronic Journal for Mathematical Semiotics, 2025a
- Toth, Alfred, Konvergenz selbstmeidender Kurven komplexer P-Zahlen. In: Electronic Journal for Mathematical Semiotics, 2025b
- Toth, Alfred, Semiotik als selbstreferentielles System. In: Electronic Journal for Mathematical Semiotics, 2025c
- Toth, Alfred, Strukturtheorie possessiv-copossessiver Zahlen. In: Electronic Journal for Mathematical Semiotics, 2025d

10.5.2025